

2- Interazione del campo e.m. con particelle cariche

Equazioni di Maxwell

$$\nabla \times \vec{\Sigma}(\vec{r}, t) = - \frac{\partial \vec{B}(\vec{r}, t)}{\partial t} \quad (2.1)$$

$$\nabla \cdot \vec{B} = 0 \quad (2.2)$$

Si introduce il potenziale vettore \vec{A} tale che

$$\vec{B}(\vec{r}, t) = \nabla \times \vec{A}(\vec{r}, t) \quad (2.3)$$

\vec{A} è definito non in modo univoco, in quanto

se scrivo

$$\vec{A}' = \vec{A} + \nabla \chi(\vec{r}, t) \quad (2.4)$$

abbiamo lo stesso campo \vec{B}

Abbiamo anche

$$\nabla \times [\vec{\Sigma}(\vec{r}, t) + \frac{\partial \vec{A}(\vec{r}, t)}{\partial t}] = 0 \quad \text{quindi}$$

$$\vec{\Sigma}(\vec{r}, t) + \frac{\partial \vec{A}(\vec{r}, t)}{\partial t} = -\nabla \phi \quad (2.5)$$

Anche il potenziale ϕ non è univoco

in quanto si puo' sostituire con

$$\phi' = \phi + \frac{\partial \chi}{\partial t} \quad (2.6)$$

(2.4) e (2.6) sono chiamate trasformazioni di gauge,

esse lasciano invariate le proprieita' fisiche.

Possiamo scegliere una gauge opportuna, nel nostro caso useremo la gauge di Coulomb

$$\nabla \cdot \vec{A} = 0 \quad (2.7)$$

a cui si associa anche $\phi = 0$.

Dall'altra equazione di Maxwell

$$\nabla \times \vec{B} = \frac{1}{c^2} \frac{\partial \vec{\epsilon}}{\partial t} \quad (2.8)$$

abbiamo

$$c^2 \nabla \times \nabla \times \vec{A} = \frac{\partial \vec{\epsilon}}{\partial t}$$

ma

$$\nabla \times \nabla \times \vec{A} = \nabla (\nabla \cdot \vec{A}) - \nabla^2 \vec{A} = -\nabla^2 \vec{A}$$

poi con $\phi = 0$ la (2.5) ci dà

$$\frac{\partial \vec{\Sigma}}{\partial t} = -\frac{\partial^2 \vec{A}}{\partial t^2}$$

e otteniamo l'equazione delle onde per \vec{A}

$$\nabla^2 \vec{A} - \frac{1}{c^2} \frac{\partial^2 \vec{A}}{\partial t^2} = 0 \quad (2.9)$$

La soluzione della (2.9) si può scrivere come

$$\vec{A}(\vec{r}, t) = 2 A_0(\omega) \hat{\epsilon} \cos(\vec{k} \cdot \vec{r} - \omega t + \delta_\omega) \quad (2.10)$$

dove $\hat{\epsilon}$ è la polarizzazione del vettore \vec{A} ed è

tale che $\hat{\epsilon} \cdot \vec{k} = 0$ con $\omega = ck$. L'onda è

polarizzata ortogonale alla direzione di propagazione \vec{k} .

Nella (2.10) δ_ω è la fase normale. Con la

grandezza di Coulomb delle (2.5) abbiamo

$$\vec{\Sigma}(\vec{r}, t) = -\frac{\partial \vec{A}(\vec{r}, t)}{\partial t} \quad \text{grado}$$

$$\vec{\Sigma}(\vec{r}, t) = E_0(\omega) \hat{\epsilon} \sin(\vec{k} \cdot \vec{r} - \omega t + \delta_\omega) \quad (2.11)$$

con

$$E_0(\omega) = -2 \omega A_0(\omega) \quad (2.12)$$

Poi $\vec{B} = \nabla \times \vec{A}$

$$\nabla \times \vec{A} = \begin{vmatrix} \hat{x} & \hat{y} & \hat{z} \\ \frac{\partial}{\partial x} & \frac{\partial}{\partial y} & \frac{\partial}{\partial z} \\ A_x & A_y & A_z \end{vmatrix}$$

$$B_x = \frac{\partial A_z}{\partial y} - \frac{\partial A_y}{\partial z}$$

$$A_z = 2A_0(\omega) \hat{\epsilon}_z \cos[(k_x x + k_y y + k_z z) - \omega t + \delta\omega]$$

$$\frac{\partial A_z}{\partial y} = -2A_0(\omega) \hat{\epsilon}_z k_y \sin[(k_x x + k_y y + k_z z) - \omega t + \delta\omega]$$

$$\frac{\partial A_y}{\partial z} = -2A_0(\omega) \hat{\epsilon}_y k_z \sin[(k_x x + k_y y + k_z z) - \omega t + \delta\omega]$$

$$B_x = -(\hat{k} \times \hat{\epsilon})_x 2A_0(\omega) \sin[\hat{k} \cdot \hat{n} - \omega t + \delta\omega]$$

$$\begin{vmatrix} \hat{x} & \hat{y} & \hat{z} \\ k_x & k_y & k_z \\ \hat{\epsilon}_x & \hat{\epsilon}_y & \hat{\epsilon}_z \end{vmatrix} = \hat{k} \times \hat{\epsilon}$$

$$\vec{B}(\vec{n}, t) = -2A_0(\omega) (\hat{k} \times \hat{\epsilon}) \sin(\hat{k} \cdot \hat{n} - \omega t + \delta\omega) \quad (2.13)$$

$$= \frac{E_0(\omega)}{\omega} (\hat{k} \times \hat{\epsilon}) \sin(\hat{k} \cdot \hat{n} - \omega t + \delta\omega)$$

Per data frequenza ω l'energia del campo e. m.

in un volume V è data da

$$U = \frac{1}{2} \epsilon_0 \int |\vec{\mathbf{E}}|^2 dV + \frac{1}{2\mu_0} \int |\vec{\mathbf{B}}|^2 dV \quad (2.14)$$

quindi la densità di energia sarà

$$\mu = \frac{1}{2} \epsilon_0 |\vec{\mathbf{E}}|^2 + \frac{1}{2\mu_0} |\vec{\mathbf{B}}|^2$$

o minch.

$$\begin{aligned} \mu &= \left[\frac{1}{2} \epsilon_0 E_0^2(\omega) + \frac{1}{2\mu_0} \left(\frac{E_0(\omega)}{\omega} \right)^2 k^2 \right] \sin^2(k \cdot \vec{r} - \omega t + \delta_\omega) \\ &= \epsilon_0 E_0^2(\omega) \left[\frac{1}{2} + \frac{1}{2\epsilon_0 \mu_0} \frac{k^2}{\omega^2} \right] \sin^2(k \cdot \vec{r} - \omega t + \delta_\omega) \end{aligned}$$

ma

$$\frac{1}{\epsilon_0 \mu_0} = c^2 \quad \frac{k^2}{\omega^2} = \frac{1}{c^2}$$

$$\mu = \epsilon_0 E_0^2(\omega) \sin^2(k \cdot \vec{r} - \omega t + \delta_\omega) = 4 \epsilon_0 \omega^2 A_0^2(\omega) \sin^2(k \cdot \vec{r} - \omega t + \delta_\omega)$$

$$\mu = 4 \epsilon_0 \omega^2 A_0^2(\omega) \sin^2(k \cdot \vec{r} - \omega t + \delta_\omega) \quad (2.15)$$

Definiamo da la densità di energia media del campo come la media temporale

$$g(\omega) = \frac{1}{T} \int_0^T dt U(t) \quad (2.16)$$

$$\frac{1}{T} \int_0^T dt \sin^2(\vec{b} \cdot \vec{n} + \delta_\omega - \omega t) = \frac{1}{T} \frac{1}{2} T = \frac{1}{2} \quad (2.17)$$

quindi

$$g(\omega) = 2 \epsilon_0 \omega^2 A_0^2(\omega) \quad (2.18)$$

Se nel volume V ci sono in media $N(\omega)$

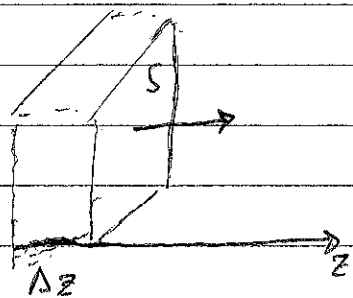
fotoni di frequenza ω la densità di energia media sarà

$$f(\omega) = \frac{\omega N(\omega)}{V} \quad (2.19)$$

che combinata con la (2.18) porta a

$$A_0^2(\omega) = \frac{\theta N(\omega)}{2 \epsilon_0 \omega V} \quad (2.20)$$

L'energia che si propaga in mezzo attraverso una superficie S in un tempo Δt in direzione \vec{z} sarà



$$\Delta U = (S \Delta z) \rho(\omega)$$

$$\text{con } \Delta z = c \Delta t \quad \Delta U = c \Delta t S \rho(\omega)$$

Si definisce l'intensità di radiazione e.m. come

l'energia che si diffondono per unità di superficie come

$$I(\omega) = \frac{1}{S} \frac{dU}{dt} \rightarrow I(\omega) = c \rho(\omega) \quad (2.21)$$

Per ottenere l'intensità totale di una radiazione incadente, con S_∞ l'unità di area, con una distribuzione di frequenze

dovremo calcolare

$$I = \int_0^{\infty} dw I(w) \quad (2.22)$$

e avremo anche una densità di radiazione

$$g = \int_0^{\infty} dw g(w) \quad (2.23)$$

Elettroni nel campo e.m.

Per una particella carica, con carica q e massa m
in interazione col campo elettromagnetico

l'equazione del moto si ricava in meccanica classica
dalla Lagrangiana

$$L = \frac{1}{2} m v^2 - q \phi + q \vec{v} \cdot \vec{A}$$

con l'equazione di Euler-Lagrange

$$\frac{d}{dt} \left(\frac{\partial L}{\partial \dot{x}_i} \right) - \frac{\partial L}{\partial x_i} = 0$$

per es. con $x_1 = x$

$$m \ddot{x} = -q \frac{\partial \phi}{\partial x} + q \left[\vec{v} \times (\nabla \times \vec{A}) \right]_x = \\ = -q \frac{\partial \phi}{\partial x} + q \left[\vec{v} \times \vec{B} \right]_x$$

Si ottiene l'equazione di Newton

$$m \ddot{v} = q \vec{\Sigma} + q \vec{v} \times \vec{B} \quad (2.24)$$

Per la quantità di moto

$$P_x = \frac{\partial L}{\partial \dot{x}} = m\dot{x} + qA_x$$

quando $\vec{p} = m\vec{v} + q\vec{A}$ (2.25)

L'hamiltoniana sarà data da

$$H = \sum_i P_i x_i - L$$

$$H = \frac{1}{2m} [\vec{p} - q\vec{A}]^2 + q\phi \quad (2.26)$$

Per passare all'hamiltoniana quantistica

$$\vec{p} \rightarrow -i\hbar \nabla$$

$$H = \frac{p^2}{2m} - \frac{q}{2m} [\vec{p} \cdot \vec{A} + \vec{A} \cdot \vec{p}] + \frac{q^2}{2m} \vec{A}^2 + q\phi$$

quindi

$$H = -\frac{\hbar^2}{2m} \nabla^2 + \frac{i\hbar q}{2m} [\nabla \cdot \vec{A} + \vec{A} \cdot \nabla] + \frac{q^2}{2m} \vec{A}^2 + q\phi$$

Dobbiamo fare attenzione perché ora

$\nabla \cdot \vec{A} + \vec{A} \cdot \nabla$ è un operatore che agisce su
una funzione d'onda

$$\begin{aligned}\nabla \cdot \vec{A} \psi &= \frac{\partial}{\partial x}(A_x \psi) + \frac{\partial}{\partial y}(A_y \psi) + \frac{\partial}{\partial z}(A_z \psi) = \\ &= \left(\frac{\partial A_x}{\partial x} + \frac{\partial A_y}{\partial y} + \frac{\partial A_z}{\partial z} \right) \psi + A_x \frac{\partial}{\partial x} \psi + A_y \frac{\partial}{\partial y} \psi + A_z \frac{\partial}{\partial z} \psi \\ &= (\nabla \cdot \vec{A}) \psi + (\vec{A} \cdot \nabla) \psi\end{aligned}$$

$$(\nabla \cdot \vec{A} + \vec{A} \cdot \nabla) \psi = (\nabla \cdot \vec{A}) \psi + 2(\vec{A} \cdot \nabla) \psi$$

quindi se assumiamo la forma di Coulomb

$\vec{A} = \vec{0}$, $\psi = 0$ l'hamiltoniana diventa

$$H = -\frac{\hbar^2}{2m} \nabla^2 + \frac{e^2 q}{2m} \vec{A} \cdot \nabla + \frac{q^2}{2m} \vec{A}^2 \quad (2.27)$$

Ora applichiamo quanti visto all'atomo di

idrogeno dove c'è anche un potenziale centrale

$$\frac{-Z_e^2}{4\pi \epsilon_0 r}$$

Poniamo sottrarre l'hamiltoniano in una parte
indipendente dal tempo

$$H_0 = -\frac{\hbar^2}{2m} \nabla^2 - \frac{Ze^2}{4\pi\epsilon_0 r} \quad (2.28)$$

e una perturbazione dipendente dal tempo

$$H'(t) = -\frac{i\hbar e}{m} \vec{A} \cdot \vec{\nabla} + \frac{\omega^2}{2m} \vec{A}^2 \approx -\frac{i\hbar e}{m} \vec{A} \cdot \vec{\nabla} \quad (2.29)$$

dove abbiamo posto $q=-e$ e consideriamo solo
tempi lineari in \vec{A} .

Usiamo la teoria delle perturbazioni dipendente
dal tempo e scriviamo

$$H(t) = H_0 + \lambda H'(t)$$

Conosciamo lo spettro delle autofunzioni di H_0

$$H_0 \psi_k = E_k^\circ \psi_k$$

La funzione d'onda perturbata si scrive

$$it \frac{d}{dt} |\psi(\vec{n}, t)\rangle = [H_0 + \lambda H'(t)] |\psi(\vec{n}, t)\rangle \quad (2.30)$$

Possiamo sviluppare $|\psi(\vec{n}, t)\rangle$ nel set completo $\{|n\rangle\}$

$$|\psi(\vec{n}, t)\rangle = \sum_n c_n(t) |n\rangle e^{-iE_n^0 t/\hbar} \quad (2.31)$$

Sostituendo (2.31) in (2.30), il lato

sinistro ci dà:

$$it \frac{d}{dt} |\psi(\vec{n}, t)\rangle = \sum_n it \dot{c}_n(t) e^{-iE_n^0 t/\hbar} |n\rangle$$

$$+ it \left(-\frac{i}{\hbar}\right) E_n^0 e^{-iE_n^0 t/\hbar} c_n(t) |n\rangle$$

$$= \sum_n \left[it \dot{c}_n(t) + E_n^0 c_n(t) \right] e^{-iE_n^0 t/\hbar} |n\rangle$$

Il lato destro della (2.31) in (2.30) ci dà:

$$[H_0 + \lambda H'(t)] \sum_n c_n(t) e^{-iE_n^0 t/\hbar} |n\rangle$$

$$= \sum_n [E_n^0 + \lambda H'(t)] c_n(t) e^{-iE_n^0 t/\hbar} |n\rangle$$

quindi la (2.30) diventa

$$\begin{aligned}
 i\hbar \sum_n c_n(t) e^{-iE_n^0 t/\hbar} |n_k\rangle + \sum_n E_n^0 c_n(t) e^{-iE_n^0 t/\hbar} |n_k\rangle &= \\
 = \sum_n E_n^0 c_n(t) e^{-iE_n^0 t/\hbar} |n_k\rangle + \\
 + \sum_n c_n(t) e^{-iE_n^0 t/\hbar} \lambda H'(t) |n_k\rangle \quad (2.32)
 \end{aligned}$$

da (2.31) si ricava a

$$i\hbar \sum_n c_n(t) e^{-iE_n^0 t/\hbar} |n_k\rangle = \sum_n \lambda H'(t) c_n(t) e^{-iE_n^0 t/\hbar} |n_k\rangle \quad (2.33)$$

La perturbazione è tale da non modificare lo spettro

dei livelli di energia E_n^0 , quello che vogliamo

è trovare le probabilità che l'elettrone passe tramite

ad uno stato finale $|n_f\rangle$

Moltiplichiamo la (2.33) a destra e sinistra col

bra $\langle n_f |$

$$it \sum_n \dot{c}_n H | e^{-iE_n^0 t/\hbar} \rangle = \sum_n \langle \psi_b | \lambda H' | \psi_n \rangle c_n(t) e^{-iE_n^0 t/\hbar}$$

Definiamo $\omega_{bk} = \frac{E_b^0 - E_k^0}{\hbar}$ (2.34)

avremo

$$c_b(t) = \frac{1}{it} \sum_n c_n(t) \langle \psi_b | \lambda H' | \psi_n \rangle e^{i\omega_{bk} t} \quad (2.35)$$

Svilupperemo anche gli $c_n(t)$ nell'ordine delle

perturbazione

$$c_n(t) = c_n^{(0)} + \lambda c_n^{(1)}(t) + \lambda^2 c_n^{(2)}(t) + \dots$$

all'ordine (λ) non c'è la perturbazione e quindi

$$c_n^0 = c_n^0(t=0) = \text{cost}$$

Assumiamo perciò che il sistema all'istante $t=0$

sta nel singolo stato $|\psi_0\rangle$, quindi $c_k^{(0)} = \delta_{k0}$

Dalla (2.35) avremo

$$\lambda c_b^{(1)}(t) = \frac{1}{it} [c_a^{(0)} + \lambda c_a^{(1)}(t, t_0)] \langle \psi_b | \lambda H' | \psi_a \rangle e^{i\omega_{ba} t}$$

tenendo l'ordine in λ

$$c_b^{(1)}(t) = \frac{1}{it} H'_{ba}(t) e^{i\omega_{ba} t} \quad (2.36)$$

dove

$$H'_{ba}(t) = \langle \psi_b | H'(t) | \psi_a \rangle$$

Naturalmente

$$c_b^{(1)}(t) = -\frac{1}{it} \int_0^t dt' H'_{ba}(t') e^{i\omega_{ba} t'} \quad (2.37)$$

con

$$H'_{ba}(t) = -\frac{i\hbar t}{m} \langle \psi_b(\vec{r}) | \vec{A} \cdot \vec{\nabla} | \psi_a(\vec{r}) \rangle \quad (2.38)$$

La variamo ora su questo elemento di matrice

$$\vec{A}(\vec{r}, t) = \int_0^\infty dw 2 A_0(w) \hat{\epsilon} \cos(\vec{k} \cdot \vec{r} - wt + \delta_w) =$$

$$= \int_0^\infty dw A_0(w) \left[e^{i(\vec{k} \cdot \vec{r} - wt + \delta_w)} + e^{-i(\vec{k} \cdot \vec{r} - wt + \delta_w)} \right]$$

che sostituendo in (2.38) porta a

$$H_{ba}^1(t) = -\frac{i\epsilon\hbar}{m} \left\{ \int_0^\infty dw e^{-iwt+i\delta\omega} A_0(\omega) \cdot \langle \psi_b | e^{i\vec{k}\cdot\vec{r}} \vec{\epsilon} \cdot \vec{v} | \psi_a \rangle \right.$$

$$\left. + \int_0^\infty dw e^{iwt-i\delta\omega} A_0(\omega) \langle \psi_b | e^{-i\vec{k}\cdot\vec{r}} \vec{\epsilon} \cdot \vec{v} | \psi_a \rangle \right\}$$

quindi $C_b^{(1)}$ è ora costituita da due termini

$$C_b^{(1)}(t) = -\frac{\epsilon}{m} \int_0^\infty dw A_0(\omega) \langle \psi_b | e^{i\vec{k}\cdot\vec{r}} \vec{\epsilon} \cdot \vec{v} | \psi_a \rangle$$

$$+ e^{i\delta\omega} \int_0^t dt' e^{i(\omega_{ba}-\omega)t'}$$

$$- \frac{\epsilon}{m} \int_0^\infty dw A_0(\omega) \langle \psi_b | e^{-i\vec{k}\cdot\vec{r}} \vec{\epsilon} \cdot \vec{v} | \psi_a \rangle$$

$$+ \epsilon \int_0^{-i\delta\omega} dt' e^{i(\omega_{ba}+\omega)t'} \quad (2.39)$$

I due integrali sul tempo sono del tipo

$$\int_0^t dt' e^{i\tilde{\omega}t'} \quad (2.40)$$

nel primo $\tilde{\omega} = \omega_{ba} - \omega$, nel secondo $\tilde{\omega} = \omega_{ba} + \omega$

Che vediamo nel seguito i due integrali

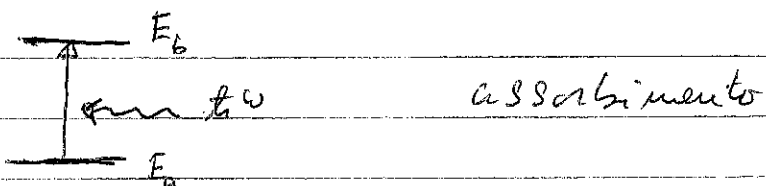
Sono diversi da zero solo quando $\tilde{\omega} \approx 0$

nel limite che ci interessa $t \gg 2\pi/\omega$

Vale a quei tempi lunghi rispetto a quelli

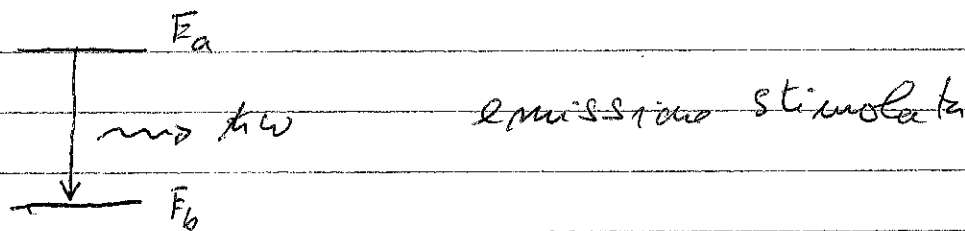
microscopici. Allora il primo termine nelle (2.39)

corrisponde a $\hbar\omega_{ba} = \hbar\omega \rightarrow E_b = E_a + \hbar\omega$



mentre nel secondo termine $\hbar\omega_{ba} = -\hbar\omega$

$$\rightarrow E_b = E_a - \hbar\omega$$



Vediamo i due processi separatamente

1° teniamo, la probabilità di transizione sarà data da

$$|\psi_b^{(1)}(t)|^2 = \frac{e^2}{m^2} \left| \int_0^\infty d\omega A_\nu(\omega) M_{ba} e^{i\delta\omega \int_0^t dt' e^{i(\omega_{ba}-\omega)t'}} \right|^2 \quad (2.41)$$

con

$$M_{ba} = \langle \psi_b(\vec{r}) | e^{-i\vec{k} \cdot \vec{r}} | \vec{\epsilon} \cdot \vec{V} | \psi_a(\vec{r}) \rangle \quad (2.42)$$

quindi

$$|\psi_b^{(1)}(t)|^2 = \frac{e^2}{m^2} \int_0^\infty d\omega \int_0^\infty d\omega' A_\nu(\omega) A_\nu(\omega') |M_{ba}|^2 e^{i(\delta\omega - \delta\omega') t} \cdot \left| \int_0^t dt' e^{i(\omega_{ba}-\omega)t'} \right|^2 \quad (2.43)$$

Le due fasi $\delta\omega$ e $\delta\omega'$, sono indipendenti statisticamente

quindi:

$$\langle e^{-i\delta\omega} e^{i\delta\omega'} \rangle = \delta(\omega - \omega')$$

e la (2.43) diventa

$$|\psi_b^{(1)}(t)|^2 = \frac{e^2}{m^2} \int_0^\infty d\omega A_\nu^2(\omega) |M_{ba}|^2 F(\omega_{ba}-\omega) \quad (2.44)$$

dove i definito

$$F(t, \tilde{\omega}) = \left| \int_0^t dt' e^{i\tilde{\omega}t'} \right|^2 \quad (2.45)$$

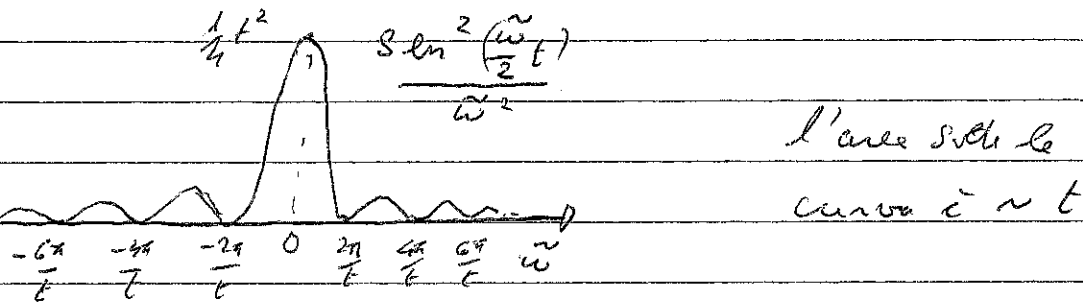
Calcoliamo

$$\int_0^t dt' e^{i\tilde{\omega}t'} \quad \text{con } X = i\tilde{\omega}t' \quad dx = i\tilde{\omega}dt'$$

$$\rightarrow \frac{1}{i\tilde{\omega}} \int_0^{i\tilde{\omega}t} dx e^x = \frac{1}{i\tilde{\omega}} \left[e^{i\tilde{\omega}t} - 1 \right]$$

$$= \frac{2}{\tilde{\omega}} e^{i\tilde{\omega}t/2} \sin\left(\frac{\tilde{\omega}t}{2}\right)$$

$$F(t, \tilde{\omega}) = \frac{4 \sin^2\left(\frac{\tilde{\omega}t}{2}\right)}{\tilde{\omega}^2} = t^2 \frac{\sin^2\left(\frac{\tilde{\omega}t}{2}\right)}{(\tilde{\omega}t/2)^2} \quad (2.46)$$



la transizione da $a \rightarrow b$ è misurata in un tempo t

l'incertezza ΔE è data da $\Delta E \approx t/t$

per $t \rightarrow \infty$ si può estendere l'integrazione

Nell'integrale in (2.44) se assumiamo che ha

valore nullo per $\omega \gtrsim \omega_{ba}$ possiamo integrare (2.46)

$$\int_{-\infty}^{+\infty} F(t, \tilde{\omega}) d\tilde{\omega} = t^2 \int_{-\infty}^{+\infty} \frac{\sin^2(\frac{\tilde{\omega}t}{2})}{(\tilde{\omega}t/2)} d\tilde{\omega}$$

$$= 2t \int_{-\infty}^{+\infty} \frac{\sin^2 x}{x^2} dx = 2\pi t \quad (2.45)$$

quindi $F(t, \tilde{\omega}) \approx 2\pi t S(\tilde{\omega})$ per $t \rightarrow \infty$ (2.46)

La probabilità di transizione (2.44) effettuando

l'integrale in ω diventa

$$|C_b^{(1)}|^2 = 2\pi \left(\frac{e}{m}\right)^2 |\mu_{ba}|^2 A_0^2(\omega_{ba}) t \quad (2.47)$$

La probabilità di transizione per unità di tempo

(transition rate) è dato da

$$W_{ba} = \frac{d}{dt} |C_b^{(1)}|^2 = 2\pi \left(\frac{e}{m}\right)^2 |\mu_{ba}|^2 A_0^2(\omega_{ba}) \quad (2.48)$$

Se ripetuiamo le (2.21) e le (2.18), l'intensità

$$I(\omega) = 2\varepsilon_0 c \omega^2 A_0^2(\omega)$$

la (2.48) diventa

$$W_{ba} = \frac{4\pi^2}{m^2 c} \left(\frac{\epsilon^2}{4\pi\varepsilon_0} \right) \frac{I(\omega_{ba})}{\omega_{ba}^2} |\mu_{ba}|^2 \quad (2.49)$$

Se guardiamo ora all'energia che l'atomo assorbe

dal campo e, m. nel processo di ~~as~~ transizione

essa sarà

$$\Delta U_{abs} = \hbar \omega_{ba} W_{ba} \Delta t$$

L'energia incidente, ricordando la (2.21) sarà

$$\Delta U_{inc} = I(\omega) S \Delta t, \text{ ponendo selenificare}$$

d'area S con la sezione d'urto di ~~assorbimento~~ σ_{ba}

Dato che $\Delta U_{abs} = \Delta U_{inc}$

abbiamo

$$\hbar \omega_{ba} W_{ba} \Delta t = \sigma_{ba} I(\omega) \Delta t$$

da cui

$$\sigma_{ba} = \frac{\hbar \omega_{ba} W_{ba}}{I(\omega)} \quad (2.50)$$

Dalla (2.49)

$$\frac{w_{ba}}{I(w_{ba})} = \frac{4\pi}{m^2} \left(\frac{\omega^2}{4\pi^2} \right) \frac{1}{\omega_{ba}^2} |M_{ba}|^2$$

In (2.50) si può riscrivere come

$$\sigma_{ba} = \frac{4\pi^2}{m^2} \frac{\omega^2}{4\pi^2 \hbar c} \frac{\hbar^2}{\omega_{ba}} |M_{ba}|^2$$

che ricordando la costante di struttura fine

$$\omega = \frac{e^2}{4\pi^2 \hbar c e} \quad \text{diventa}$$

$$\sigma_{ba} = \frac{4\pi^2 \hbar^2 \alpha}{m^2 \omega_{ba}} |M_{ba}|^2 \quad (2.51)$$

Vediamo ora l'emissione stimolata.

Dobbiamo guardare al secondo termine delle

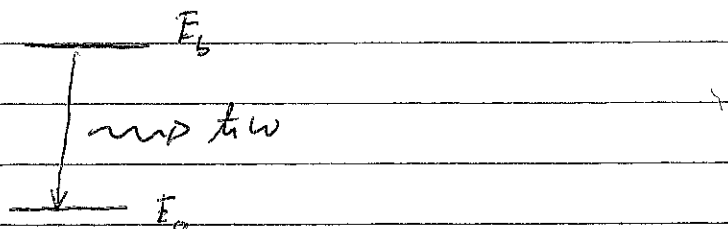
$|C_b^{(1)}(t)|^2$ (2.39), che descrive un

processo di emissione con $E_b = E_a - \hbar\omega$.

Carattere scambiare gli indici a e b nel modo

che lo stato finale sia lo stato a , lo schema

diventa $(E_a = E_b - \hbar\omega)$



L'emissione è stimolata perché "proseguiva di"

eccitare gli atomi con una radiazione incidente,

poi osserviamo in direzione diversa l'emissione

dagli atomi. Si può comunque ripetere la

procedura precedente che ha portato alle (2.48)

tenendo presente che usiamo il secondo termine

delle (2.39) che ora è $|C_a^{(1)}(t)|^2$.

Quindi abbiamo

$$W_{ab} = \frac{4\pi^2}{m^2 c} \frac{\sigma^2}{4\pi\epsilon} \frac{I(\omega_{\alpha})}{\omega_{\alpha}^2} |H_{ab}|^2$$

Così

$$H_{ab} = \langle \psi_a | e^{-ik \cdot \vec{r}} \vec{e} \cdot \nabla | \psi_b \rangle \quad (2.52)$$

Si può calcolare così

$$\int dx \int dy \int dz e^{-i(k_x x + k_y y + k_z z)} \psi_a^*(\vec{r}) \cdot$$

$$\cdot \left[\epsilon_x \frac{\partial}{\partial x} + \epsilon_y \frac{\partial}{\partial y} + \epsilon_z \frac{\partial}{\partial z} \right] \psi_b(\vec{r}) \quad (2.53)$$

Vediamo il termine con ϵ_x

$$\int dx e^{-ik_x x} \psi_a^*(\vec{r}) \epsilon_x \frac{\partial}{\partial x} \psi_b(\vec{r}) \cdot \int dy \int dz e^{-i(k_y y + k_z z)}$$

$$\int dx e^{-ik_x x} \psi_a^*(\vec{r}) \epsilon_x \frac{\partial}{\partial x} \psi_b(\vec{r}) =$$

$$= \epsilon_x \left[e^{-ik_x x} \psi_a^*(\vec{r}) \psi_b(\vec{r}) \right]_{-\infty}^{+\infty} = \epsilon_x \cdot$$

$$\cdot \int dx \psi_b(\vec{r}) \frac{\partial}{\partial x} \left[e^{-ik_x x} \psi_a^*(\vec{r}) \right]$$

$$\left[\dots \right]_{-\infty}^{+\infty} \rightarrow 0$$

diventa

$$i \varepsilon_x k_x \int dx \psi_b(\vec{r}) e^{-ik_x x} \psi_a^*(\vec{r})$$

$$- \varepsilon_x \int dx \psi_b(\vec{r}) e^{-ik_x x} \frac{\partial}{\partial x} \psi_a^*(\vec{r})$$

Combinando con i termini in dq dz la 2.53 diventa

$$\int dx \int dy \int dz e^{-i(k_x x + k_y y + k_z z)} \psi_b(\vec{r}) .$$

$$\left\{ i \left(\varepsilon_x k_x + \varepsilon_y k_y + \varepsilon_z k_z \right) \psi_a^*(\vec{r}) \right.$$

$$\left. - \left[\varepsilon_x \frac{\partial}{\partial x} + \varepsilon_y \frac{\partial}{\partial y} + \varepsilon_z \frac{\partial}{\partial z} \right] \psi_a^*(\vec{r}) \right\}$$

ma $\vec{\varepsilon} \cdot \vec{k} = 0$ quindi

$$H_{ab} = - \int d\vec{r} e^{-i\vec{k} \cdot \vec{r}} \psi_b(\vec{r}) \vec{\varepsilon} \cdot \nabla \psi_a^*(\vec{r})$$

Così conseguendo

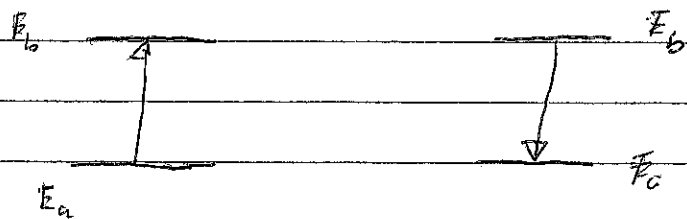
$$H_{ab}^* = - H_{ba}$$

e quindi otteniamo

$$W_{ab}^{\text{emi}} = W_{ba}^{\text{abs}} \quad (2.54)$$

questo è detto principio del bilancio dettagliato

esso dice che la probabilità delle
transizioni $a \rightarrow b$ è la stessa di quelle di $b \rightarrow a$



questo però è vero se si considerano gli
stati eccitati occupati come quelli fondamentali.

Si presuma l'effetto della temperatura e si
considera che l'emissione è stimolata

Emissione spontanea

Per trattare l'emissione spontanea conviene

considerare nel calcolo di $|C''(t)|^2$ non effettuare

l'integrazione su $\tilde{\omega}$ in (2.44) e usare le (2.46)

$$\tilde{\omega} = \omega_{ba} - \omega$$
$$\text{con } \omega_{ba} = E_b - E_a$$

$$\int |C_a''(t)|^2 \approx \frac{e^2}{m^2} A_s^2(\omega_{ba}) |M_{ba}|^2 2\pi \delta(\omega_{ba} - \omega) \quad (2.55)$$

che è chiamata regola d'oro di Fermi, da (2.55) è

una delle forme della regola d'oro di Fermi.

Nel nostro caso si considera che viene emesso un

singolo fotone con una transition rate "spontanea"

$$W_{ab}^{sp} = \frac{e^2 \epsilon^2}{m^2} A_s^2(\omega_{ba}) |M_{ba}|^2 \delta(\omega_{ba} - \omega) \quad (2.56)$$

$A_o^2(\omega)$ lo possiamo ottenere dalla densità

di energia in base alla (2.18)

$$S(\omega) = 2 \varepsilon_0 \omega^2 A_o(\omega)$$

Per l'emissione stimata e l'assorbimento delle
(2.20) Sappiamo che $A_o^2(\omega) \sim N(\omega)$,

Nel caso di un fatto singolo invece della (2.19)

abbiamo

$$\rho(\omega) = \frac{\hbar\omega}{V}$$

e quindi

$$A_o^2(\omega) = \frac{\rho(\omega)}{2 \varepsilon_0 \omega^2} = \frac{\hbar}{2 \varepsilon_0 \omega V}$$

Sostituendo in (2.56)

$$W_{ab}^{sp} = \frac{2\pi e^2}{m^2} \frac{\hbar\omega}{4\pi} \frac{\hbar}{2\varepsilon_0 \omega_b V} |N_{ba}|^2 \delta(\omega_{ba} - \omega)$$

$$= \frac{4\pi^2}{m^2} \left(\frac{\omega^2}{4\pi\varepsilon_0} \right) \frac{\hbar}{V \omega_{ba}} |N_{ba}|^2 \delta(\omega_{ba} - \omega) \quad (2.57)$$

Per avere le transizioni rate per l'emissione

Spontanea occorre sommare (2.56) sugli stati

finali fottonici. Vogliamo trovare la probabilità

di transizioni nell'angolo solidi dΩ intorno alla
direzione di propria guadana \vec{k} , la densità degli stati

finali è data da

$$\frac{V}{(2\pi)^3} dk_x dk_y dk_z = \frac{V}{(2\pi)^3} k^2 dk d\Omega$$

$$\text{con } \omega = ck \rightarrow \frac{V}{(2\pi)^3} \frac{\omega^2}{c^3} dw d\Omega \quad (2.58)$$

quindi il numero di stati è determinato da (2.58)

quindi

$$W_{ab}^{sp}(\theta, \alpha) d\Omega = \frac{4\pi^2}{m^2} \left(\frac{e^2}{4\pi\epsilon_0} \right) \frac{\hbar}{\sqrt{w_{ba}}} |H_{ba}|^2 \frac{V}{(2\pi)^3} d\Omega$$

$$\int dw \frac{\omega^2}{c^3} \delta(w_{ba} - \omega) =$$

$$= \frac{4\pi^2}{m^2} \left(\frac{e^2}{4\pi\epsilon_0} \right) \frac{\hbar}{(2\pi)^3 w_{ba}} \frac{w_{ba}^2}{c^3} |H_{ba}|^2 d\Omega$$

quindi avremo infine

$$\bar{W}^{SI}(q, q) d\Omega = \frac{e^2}{2\pi m c^3} \frac{1}{4\pi \epsilon_0} w_{ba} |M_{ba}|^2 d\Omega \quad (2.59)$$

ma

Approssimazione di dipolo

Nelle formule che determinano le probabilità

di assorbimento e di emissione compare l'elemento
di matrice (2.42)

$$M_{ba} = \langle \psi_b(\vec{r}) | e^{i\vec{k} \cdot \vec{r}} \vec{\epsilon} \cdot \nabla | \psi_a(\vec{r}) \rangle$$

la radiazione l.m. ha $k \approx 10^5 \text{ cm}^{-1}$ mentre

le lunghezze atomiche sono dell'ordine di 1 \AA ,

Siamo quindi nel limite $k a \ll 1$ o $\lambda \gg a$

Si può quindi sviluppare $e^{i\vec{k} \cdot \vec{r}}$

$$e^{i\vec{k} \cdot \vec{r}} = 1 + i\vec{k} \cdot \vec{r} + \dots$$

$$\text{Assumiamo } e^{i\vec{k} \cdot \vec{r}} \approx 1$$

quindi

$$M_{ba} \approx \langle \psi_b(\vec{r}) | \vec{\epsilon} \cdot \vec{V} | \psi_a(\vec{r}) \rangle \quad (2.60)$$

con $\vec{p} = -i\hbar \nabla$

$$M_{ba} = \frac{i}{\hbar} \langle \psi_b(\vec{r}) | \vec{\epsilon} \cdot \vec{p} | \psi_a(\vec{r}) \rangle \quad (2.61)$$

Nel nostro caso

$$H_0 = \frac{\vec{p}^2}{2m} + V(r) \quad V(r) \text{ è scalare}$$

$$[H_0, \vec{r}] = \left[\frac{\vec{p}^2}{2m}, \vec{r} \right] = \frac{1}{2m} \left\{ \vec{r} [\vec{p}, \vec{r}] + [\vec{p}, \vec{r}] \vec{p} \right\}$$

$$= \frac{1}{2m} (-2i\hbar) \vec{p} = \frac{-i\hbar}{m} \vec{p}$$

Da qui abbiamo

$$M_{ba} = \frac{i}{\hbar} \frac{im}{\hbar} \vec{\epsilon} \cdot \langle \psi_b | [H_0, \vec{r}] | \psi_a \rangle$$

$$= -\frac{m}{\hbar^2} \vec{\epsilon} \cdot \langle \psi_b | [H_0 \vec{r} - \vec{r} H_0] | \psi_a \rangle$$

$$= \frac{m}{\hbar^2} [E_a - E_b] \langle \psi_b | \vec{\epsilon} \cdot \vec{r} | \psi_a \rangle$$

$$\mu_{ba} = -\frac{\mu}{\epsilon} w_{ba} \langle \psi_b | \vec{\epsilon} \cdot \vec{r} | \psi_a \rangle \quad (2.62)$$

Definiamo il momento di dipolo elettrico

$$\vec{D} = -\epsilon \vec{r} \quad (2.63)$$

In approssimazione di dipolo

$$\mu_{ba}^D = \frac{\mu}{\epsilon \hbar} w_{ba} \langle \psi_b | \vec{\epsilon} \cdot \vec{D} | \psi_a \rangle \quad (2.64)$$

Di conseguenza in questa approssimazione

$$w_{ba}^D = \frac{4\pi^2}{c\hbar^2} \frac{1}{4\pi\epsilon_0} I(w_{ba}) |\vec{\epsilon} \cdot \vec{D}_{ba}|^2 \quad (2.65)$$

Così

$$\vec{D}_{ba} = -\epsilon \langle \psi_b | \vec{r} | \psi_a \rangle \quad (2.66)$$

Nell'approssimazione di dipolo è importante capire

quando $D_{ba} = 0 \rightarrow$ transizione proibita

$D_{ba} \neq 0 \rightarrow$ transizione permessa

Se $D_{ba} = 0$ si potrebbe guardare agli ordini

successivi, come il quadru polo elettrico, la
probabilità di transizione è ovviamente più debole.

Nell'elemento di matrice (2.66)

$$\hat{\epsilon} \cdot \vec{D}_{ba} \Rightarrow \hat{\epsilon}, \vec{r}_{ba}$$

nella (2.65) avremo un termine $|\hat{\epsilon} \cdot \vec{r}_{ba}|^2$

\vec{r}_{ba} è un vettore con modulo quadro

$$|\vec{r}_{ba}|^2 = |x_{ba}|^2 + |y_{ba}|^2 + |z_{ba}|^2$$

A diagram illustrating the angle θ between the unit vector $\hat{\epsilon}$ and the vector \vec{r}_{ba} . The vector \vec{r}_{ba} is shown originating from the origin, with its components x_{ba} , y_{ba} , and z_{ba} along the respective axes. The angle θ is measured between the direction of \vec{r}_{ba} and the direction of $\hat{\epsilon}$.

$$\hat{\epsilon} \cdot \vec{r}_{ba} = |\vec{r}_{ba}| \cos \theta$$

quindi:

$$|\hat{\epsilon} \cdot \vec{r}_{ba}|^2 = |\vec{r}_{ba}|^2 \cos^2 \theta \quad (2.67)$$

Sostituendo nella (2.65)

$$W_{ba}^b = \frac{4\pi^2}{c\mu^2} \left(\frac{e^2}{4\pi\epsilon_0} \right) I(\omega_{ba}) |\vec{r}_{ba}|^2 \cos^2 \theta$$

Se la radiazione non è polarizzata ma
distribuita con direzioni di polarizzazione

Così la media sugli angoli ci dà $\cos^2\vartheta = \frac{1}{3}$

quindi

$$\bar{W}_{ba} = \frac{4\pi^2}{3c^2} \left(\frac{\omega^2}{4\pi\epsilon_0} \right) I(\omega_{ba}) |r_{ba}|^2 \quad (2.68)$$

Regole di Selezione.

Per capire quali transizioni sono permesse

Conviene introdurre le componenti sferiche di $\vec{\varepsilon}$

$$\varepsilon_1 = -\frac{1}{\sqrt{2}} (\varepsilon_x + i\varepsilon_y) \quad \varepsilon_0 = \varepsilon_z \quad \varepsilon_{-1} = \frac{1}{\sqrt{2}} (\varepsilon_x - i\varepsilon_y)$$

$$R_1 = -\frac{1}{\sqrt{2}} (x+iy) = -\frac{1}{\sqrt{2}} R \sin\vartheta e^{i\varphi} = R \left(\frac{4\pi}{3}\right)^{1/2} Y_{1,1}(\vartheta, \varphi)$$

$$R_0 = z = R \cos\vartheta = R \left(\frac{4\pi}{3}\right)^{1/2} Y_{0,0}(\vartheta, \varphi)$$

$$R_{-1} = \frac{1}{\sqrt{2}} (x-iy) = \frac{1}{\sqrt{2}} R \sin\vartheta e^{-i\varphi} = R \left(\frac{4\pi}{3}\right)^{1/2} Y_{1,-1}(\vartheta, \varphi)$$

Consideriamo transizioni:

$$a = (m, l, m) \rightarrow b = (m', l', m')$$

$$\hat{\varepsilon} \cdot \vec{R}_{ba} = \sum_{q=0,\pm 1} \varepsilon_q^* (R_q)_{ba}$$

Vediamo $(R_q)_{ba}$

$$\langle \psi_{m'l'm}, | R_q | \psi_{mlm} \rangle =$$

$$= \int d\Omega R^2 R_{m'l'm'}(r, R_{mlm}(r)) \quad (2.69)$$

$$= \int d\Omega Y_{l'm'}^*(\theta, \varphi) \left(\frac{4\pi}{3}\right)^{1/2} Y_{1,q}(\theta, \varphi) Y_{l,m}(\theta, \varphi)$$

$$cm d\Omega = \sin \theta d\theta d\varphi$$

Ricordiamo che

$$Y_{l,m}(\theta, \varphi) = \textcircled{1}_{lm}(\theta) \frac{1}{\sqrt{2\pi}} e^{im\varphi}$$

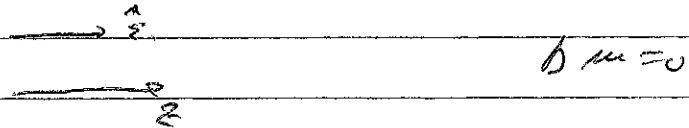
L'integrazione su $d\varphi$ nella (2.69) dà

$$\int_0^{2\pi} d\varphi e^{i(-m' + q + m)\varphi}$$

questo integrale è diverso da zero solo se $m - m' + q = 0$

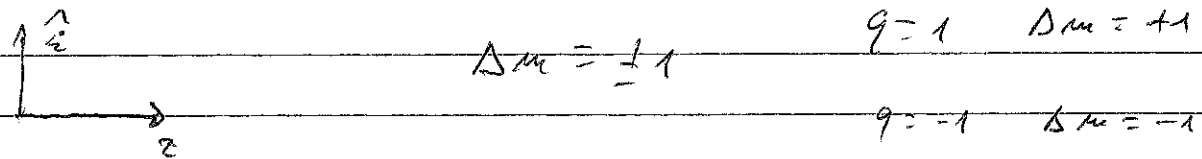
con $q=0$ deve essere $m'=m$ (2.70)

questo è un'onda polarizzata lungo z



con $q = \pm 1$ deve essere $m' = m \pm 1$ (2.70)

onda polarizzata in direzione ortogonale a z



Le (2.70) e (2.71) sono le regole di selezione

che riguardano il numero quantico m .

Un primo risultato lo otteniamo considerando

$$A(l, m, l', m', q) = \int d\Omega Y_{l,m}^*(\theta, \varphi) Y_{l',m'}(\theta, \varphi) Y_{l,m}(\theta, \varphi) \quad (2.71)$$

Sotto parità $\vec{r} \rightarrow -\vec{r}$

$$\theta \rightarrow \pi - \theta \quad \varphi \rightarrow \varphi + \pi \quad r \rightarrow r$$

$$P Y_{l,m}(\theta, \varphi) \rightarrow (-1)^l Y_{l,m}(\theta, \varphi)$$

quindi

$$A(l, m, l', m', q) = (-1)^{l'} (-1)^{m'} (-1)^l A(l, m, l', m', q)$$

quindi deve essere

$$l + l' + 1 = \text{pari}$$

Per vedere in generale il risultato si può ~~essere~~ considerare

nelle (2.71) le $Y_{l,m}(\theta, \varphi)$ come

$$Y_{l,m}(\theta, \varphi) = C_{l,m} P_l^m(\cos \theta) e^{im\varphi}$$

dove $P_l^m(\cos \theta)$ sono i polinomi di Legendre,

$$\text{per } Y_{1,0} = \left(\frac{3}{4\pi}\right)^{1/2} \cos \theta \quad Y_{1,\pm 1} = \left(\frac{3}{4\pi}\right)^{1/2} \sin \theta e^{i\pm\varphi}$$

Pensiamo di aver effettuato gli integrali e

e ottenuto le regole di selezione su m . A parte

vani costanti in fronte agli integrali, dobbiamo
calcolare:

$$q=0 \quad \int d(\cos\vartheta) \cos\vartheta P_l^m(\cos\vartheta) P_{l'}^m(\cos\vartheta)$$

$$\text{con } w = \cos\vartheta$$

$$\int dw w P_l^m(w) P_{l'}^m(w)$$

Sappiamo che

$$(2l+1) w P_{l'}^m = (l'+1-m) P_{l'+1}^{m-1} + (l'+m) P_{l'-1}^{m+1}$$

a partire da queste regole si calcolano con due integrali

$$\int dw P_{l'+1}^{m-1} P_l^m = \delta_{l'+1, l}$$

$$\Delta l = \pm 1$$

$$\int dw P_{l'-1}^{m+1} P_l^m = \delta_{l'-1, l}$$

con $q = +1$ abbiamo

$$\int d(\cos\theta) \sin\theta P_l^{m+1}(\cos\theta) P_l^m(\cos\theta)$$

Sappiamo che ($\cos\theta = \cos\varphi$)

$$(2l+1)(1-w^2)^{1/2} P_l^{m+1} = P_{l+1}^m - P_{l-1}^m$$

$$(1-w^2)^{1/2} = \sin\theta$$

quindi l'integrale si spezza in

$$\int dw P_l^{m+1} P_{l+1}^m = \delta_{l',l+1} \quad \Delta l = \pm 1$$

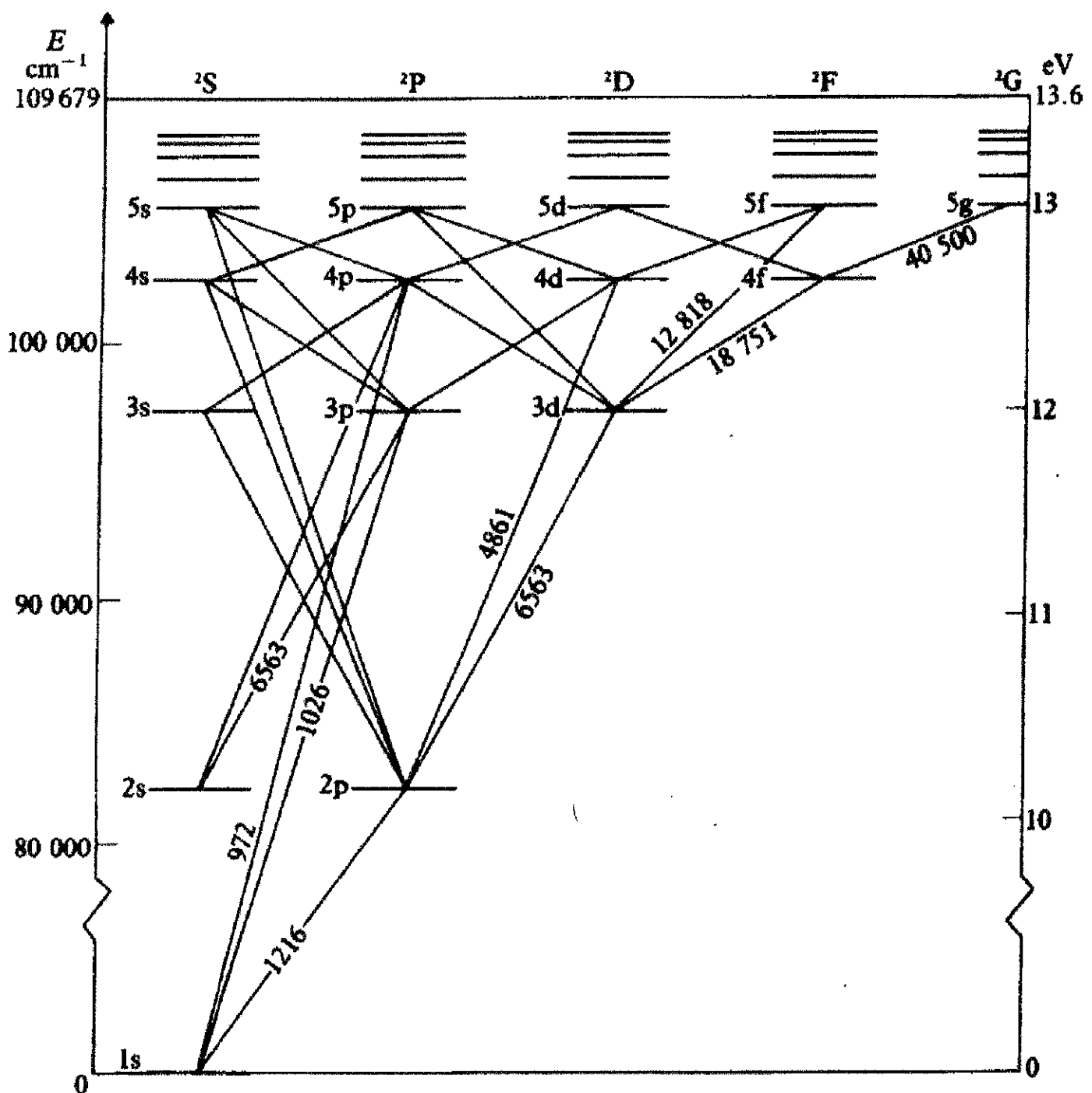
$$\int dw P_l^{m+1} P_{l-1}^m = \delta_{l',l-1}$$

Nel caso $q = -1$ avremo

$$\int dw P_{l'+1}^m P_l^m = \delta_{l'+1,l} \quad \Delta l = \pm 1$$

$$\int dw P_{l'-1}^m P_l^m = \delta_{l'-1,l}$$

REGOLE DI SELEZIONE : $\Delta l = \pm 1$



4.4 Term, or Grotrian, diagram for atomic hydrogen. The ordinate shows the energy above the 1s ground state in cm^{-1} ($8065 \text{ cm}^{-1} = 1 \text{ eV}$) on the left and in eV on the right and the energy levels are shown plotted against the orbital angular momentum. Transitions obeying the $\Delta l = \pm 1$ selection rule are indicated by solid lines. The numbers against the lines indicate the wavelength in angström units ($1 \text{ \AA} = 10^{-8} \text{ cm}$). For clarity, only transitions between the lower-lying levels are shown, and the wavelengths are shown only for a selection of lines. The splitting due to fine structure is too small to be shown on a diagram of this scale.



Polarizzazione dell'onda e.m.

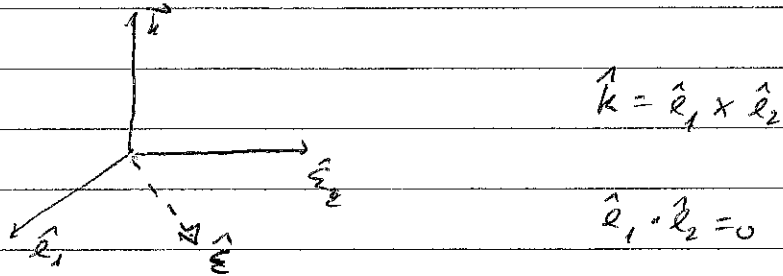
Un'onda piana che si propaga in direzione \vec{k} ha

polarizzazione perpendicolare a \vec{k} può essere descritta

combinandolo con due onde piane indipendentemente polarizzate

linearmente. Con due versori \hat{e}_1, \hat{e}_2 ortogonali

e un vettore perpendicolare a \vec{k}



Una polarizzazione arbitraria si può scrivere come

$$\hat{\varepsilon} = a_1 \hat{e}_1 + a_2 \hat{e}_2 \quad a_1^2 + a_2^2 = 1 \quad (2.73)$$

Si può anche impostare la descrizione introducendo

due forme di onde polarizzate circolari. Si

potenziali vettore polarizzato left \vec{A}^L e right \vec{A}^R .

\vec{A}^L e \vec{A}^R hanno componenti

$$A_x^L = A_x^R = \sqrt{2} A_0(\omega) \cos(kz - \omega t + \delta_\omega)$$

$$A_y^L = -A_y^R = -\sqrt{2} A_0(\omega) \sin(kz - \omega t + \delta_\omega) \quad (2.74)$$

$$A_z^L = A_z^R = 0$$

Nelle equazioni di Coulomb $\vec{E} = - \frac{\partial \vec{A}}{\partial t}$ quindi

$$E_x^L = E_y^R = -\sqrt{2} \omega A_0(\omega) \sin(kz - \omega t + \delta_\omega)$$

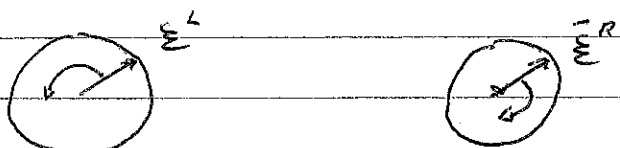
$$E_y^L = -E_y^R = -\sqrt{2} \omega A_0(\omega) \cos(kz - \omega t + \delta_\omega)$$

$$E_z^L = E_z^R = 0$$

I campi \vec{E}^L e \vec{E}^R considerando ad

onde polarizzate circolarmente in verso contrario

antiorario (L) e orario (R)



restano perpendicolari a \vec{k}

Consideriamo \vec{A}^L , le sue componenti sono

$$A_x^L = \sqrt{2} A_0(\omega) \frac{1}{2} \left[e^{i(kz - \omega t + \delta_\omega)} + e^{-i(kz - \omega t + \delta_\omega)} \right] \rightarrow \hat{x}$$

$$A_y^L = \sqrt{2} A_0(\omega) \frac{i}{2} \left[e^{i(kz - \omega t + \delta_\omega)} - e^{-i(kz - \omega t + \delta_\omega)} \right] \rightarrow \hat{y}$$

Combinando

$$\vec{A}^L = \frac{1}{\sqrt{2}} A_0(\omega) \left\{ e^{i(kz - \omega t + \delta_\omega)} (\hat{x} + i\hat{y}) \right. \\ \left. + e^{-i(kz - \omega t + \delta_\omega)} (\hat{x} - i\hat{y}) \right\}$$

Definiamo

$$\hat{e}^L = \frac{1}{\sqrt{2}} (\hat{x} + i\hat{y}) \quad \hat{e}^R = \frac{1}{\sqrt{2}} (\hat{x} - i\hat{y}) \quad (2.75)$$

$$\vec{A}^L = A_0(\omega) \left\{ e^{i(kz - \omega t + \delta_\omega)} \hat{e}^L + e^{-i(kz - \omega t + \delta_\omega)} \hat{e}^R \right\}$$

$\downarrow \qquad \downarrow$

assorbimento emissione

Analogamente

$$\vec{A}^R = A_0(\omega) \left\{ e^{i(kz - \omega t + \delta_\omega)} \hat{e}^R + e^{-i(kz - \omega t + \delta_\omega)} \hat{e}^L \right\}$$

Im approssimazione di dipolo avremo per l'ascorciamento
dei termini in polarizzazione L e R

$$L: \vec{e}^L \cdot \vec{r}_{ba} \quad \Delta l = \pm 1$$

$$R: \vec{e}^R \cdot \vec{r}_{ba}$$

$$(x + iy) \cdot \vec{r}_{ba}$$

\downarrow

$q=1$ quindi $\Delta m = +1$

$$R: (x - iy) \cdot \vec{r}_{ba}$$

\downarrow

$q=-1$ $\Delta m = -1$

Si definisce una elicita' del fotone corrispondente

al suo spin del fotone, e' il fotone che ha il

contributo al resto del numero quantico m

$$S_{\text{fotone}} \rightarrow S^2 \xrightarrow{\text{dipolo}} S(S+1) \quad S_z = \pm \frac{1}{2}$$

quindi il fotone ha elicità + h.c.

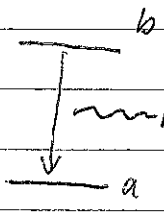
polarizzazione L o -h.c. con polarizzazione R

A) sperimentalmente

L: $\Delta m = +1$ elicità + h.c.

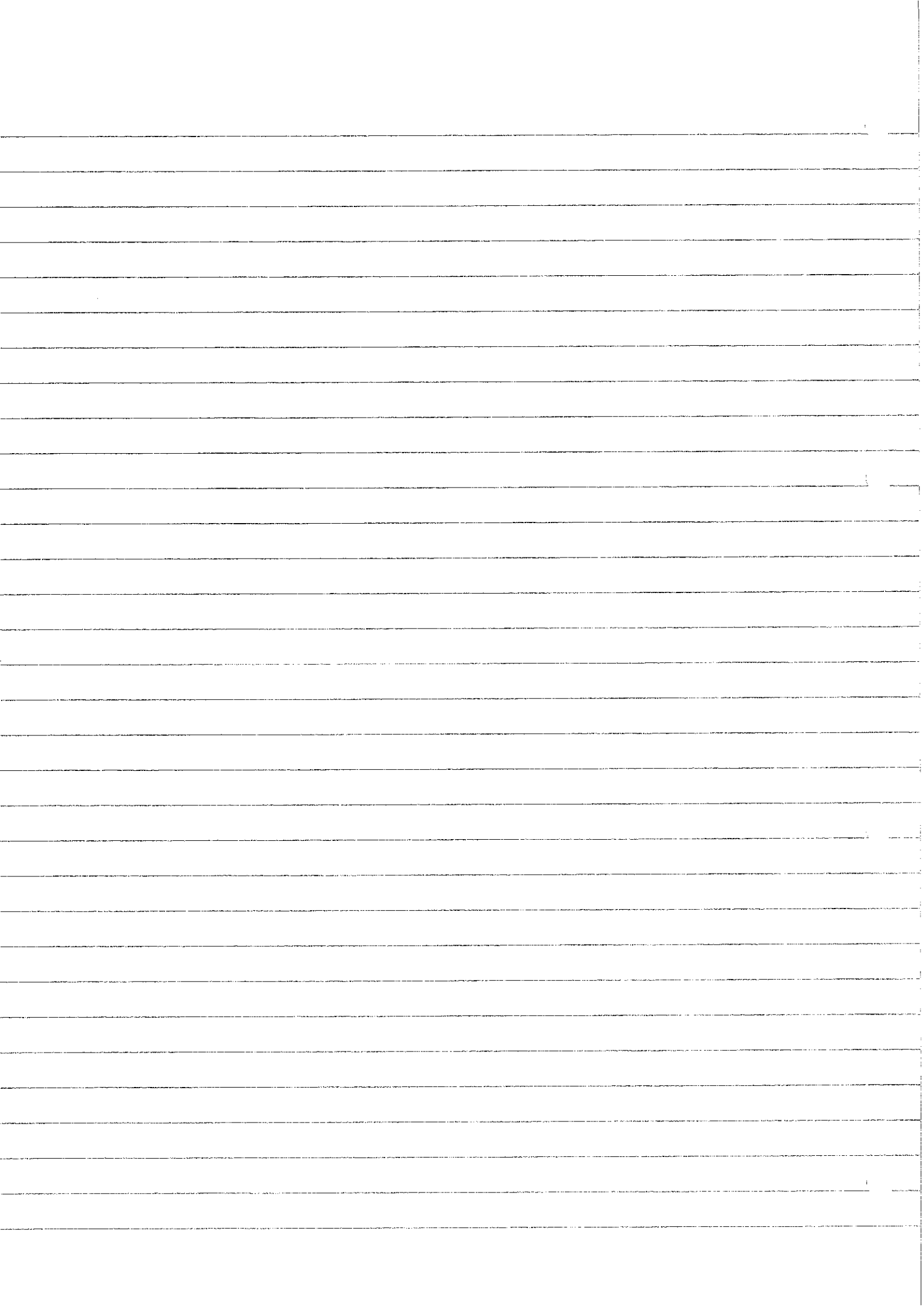
R: $\Delta m = -1$ elicità - h.c.

Nel processo di emissione


L: $\Delta m = -1$ elicità + h.c.
R: $\Delta m = +1$ elicità - h.c.

In queste case il fotone si porta $\pm h.c.$

in corrispondenza con ~~esso~~ $\Delta m = \mp 1$



Coefficienti di Einstein.

Si vuole descrivere l'equilibrio termodinamico
fra radiazione e materia.

Seguiamo l'idea di Einstein e introduciamo
dei coefficienti B_{abs} , B_{em} che rappresentano

le probabilità per unità di tempo di avere
una transizione fra due stati $a \leftrightarrow b$ con $E_b > E_a$

e un coefficiente A_{sp} , la probabilità che lo
stato b decada in a .

Con $\rho(w_{ba})$ la densità di energia del campo e.m.

con $w_{ba} = (E_b - E_a)/k$ il numero di atomi per unità di tempo

che compiono la transizione $a \rightarrow b$ sarà data da

$$\overset{a}{N}_{ba} = N_a B_{abs} \rho(w_{ba})$$

con N_a il numero di atomi nel livello a .

Invece il numero di atomi che compiono

La transizione $b \rightarrow a$ sara' nell'unità di tempo

$$\dot{N}_{ab} = N_b A_{sp} + N_b B_{em} S(\omega_{ba})$$

All'equilibrio

$$N_a = N_b$$

quindi:

$$N_a B_{ab} S(\omega_{ba}) = N_b A_{sp} + N_b B_{em} S(\omega_{ba})$$

$$\frac{N_b}{N_a} = \frac{B_{ab} S(\omega_{ba})}{B_{em} S(\omega_{ba}) + A_{sp}}$$

Ora vediamo l'effetto delle temperature.

$$\frac{N_b}{N_a} = \frac{g_b e^{-E_b/k_B T}}{g_a e^{-E_a/k_B T}} \quad (2.26)$$

dove g_a e g_b sono le degenerazioni dei livelli,

indichiamo con $\beta = 1/k_B T$ il fattore dovuto alle

temperature, abbiamo

$$\frac{N_b}{N_a} = \frac{g_b}{g_a} e^{-\beta(E_b - E_a)} = \frac{g_b}{g_a} e^{-\beta h \omega_{ba}}$$

dce cui:

$$\frac{g_b}{g_a} e^{-\beta h \omega_{ba}} = \frac{B_{abs} s(\omega_{ba})}{B_{em} s(\omega_{ba}) + A_{sp}}$$

$$B_{abs} s(\omega_{ba}) + A_{sp} = \frac{g_a}{g_b} e^{\beta h \omega_{ba}} B_{abs} s(\omega_{ba})$$

$$s(\omega_{ba}) = \frac{A_{sp}}{B_{abs} \frac{g_a}{g_b} e^{\beta h \omega_{ba}} - B_{em}} \quad (2.77)$$

I termini d'altra parte sono distribuiti

secondo la distribuzione di Planck

$$s(\omega_{ba}) = \frac{h \omega_{ba}^3}{\pi^2 c^3} \frac{1}{e^{\beta h \omega_{ba}} - 1} \quad (2.78)$$

$$f(\omega_{ba}) = \frac{A_{sp}}{B_{abs} \frac{g_a}{g_b}} \left[\frac{1}{\frac{\rho + i\omega}{\omega_0} - \frac{g_b}{g_a} \frac{B_{emi}}{B_{abs}}} \right] \quad (2.79)$$

da cui

$$\frac{g_a}{g_b} B_{abs} = g_b B_{emi} \quad (2.80)$$



$$A_{sp} = \frac{4\pi \omega_{ba}^3}{\pi^2 c^3} B_{emi} \quad (2.81)$$

Tempo di vita dei livelli; forma delle curve.

Ogni livello ha un tempo di occupazione finito, detto life-time. Esiste infatti un'emissione spontanea

determinata dalle probabilità di emissione spontanea dei livelli, diciamo b ai possibili livelli b determinata

da W_{hb}^{sp} . Possiamo comunque che il numero di atomi nel livello b decada con

$$\frac{dN_b(t)}{dt} = - N_b(t) \sum_b W_{hb}^{sp} \quad (2.82)$$

Dal punto di vista fenomenologico si può trasformare la trattazione introducendo il lifetime τ

$$\frac{1}{\tau} = \sum_b W_{hb}^{sp} \quad (2.83)$$

dalle (2.83) vediamo che più alta è la probabilità di transizione più piccolo è il tempo di vita.

Quando la (2.82) diventa

$$\frac{dN_b}{dt} = - \frac{N_b}{\tau} \quad (2.84)$$

Che soluzione

$$N_b(t) = N(0) e^{-t/\tau} \quad (2.85)$$

τ non dipende dal numero quantico m , per dato ℓ

ma solo con n

in 10^{-8} s (per l'atomo di idrogeno)

	3s	4s	2p	3p	4p
τ	16	23	0,16	0,54	1,24

Il livello 2s dell'atomo di idrogeno ha un tempo di

vita macroscopica di $1/2$ s, questo è dovuto al fatto

che non può decadere in approssimazione di doppio

al livello 1s.

Le linee dello spettro di assorbito e di

emissione con uno stesso su allungamento interno

al valore ω_{∞} , perché lo spazio dei livelli sono

indeterminato secondo un valore t/τ_0 , quindi

$\hbar\omega = E_b - E_a$ ci aspettiamo che possa varcare in

un range $\frac{t}{\tau_a} + \frac{t}{\tau_b}$.

Per esempio nel trattare una transizione di emissione

$b \rightarrow a$ abbiamo avuto che lo stato di partenza

abbia $C_b(0) = \int_{b(k)} e^{\frac{-E}{kT}}$ e sia costante, in realtà

per $t > 0$ $C_b(t) \approx e^{-\frac{E}{kT}}$, questo

consente che la riga di emissione finale

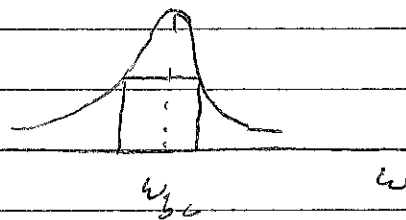
abbia un allungamento per $t \gg T$ \rightarrow

la sua forma è proporzionale alla

funzione lorentziana

$$f(\omega) = \frac{\Gamma_b^2 / 4\pi^2}{(\omega - \omega_{bg})^2 + \Gamma_b^2 / 4\pi^2}$$

dove $\Gamma_b = \tau_b / T_b$



Larghezza a semi altezza

$$\Gamma_b / 4\pi$$

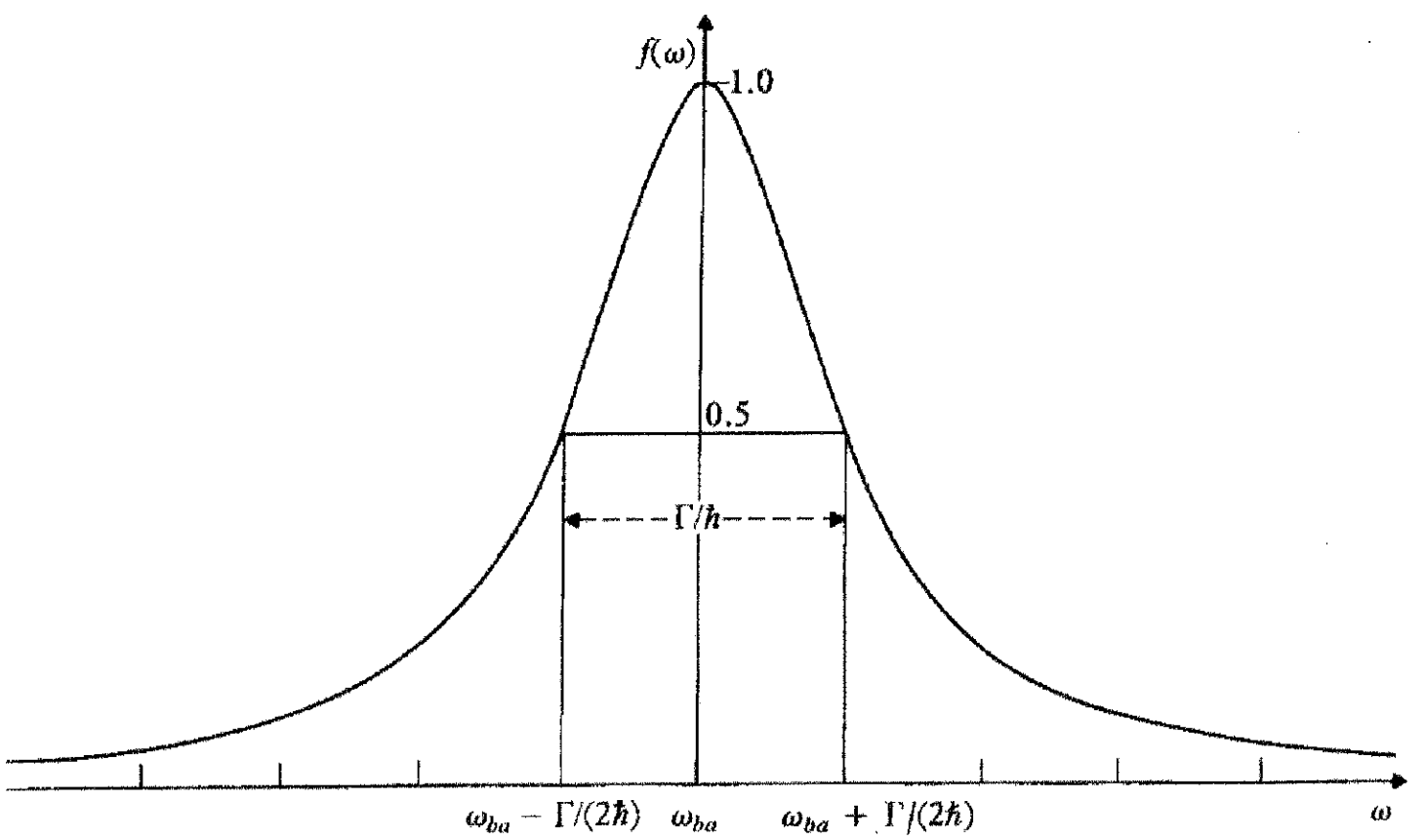
$$f(\omega) = \frac{1}{2} \text{ quando } \omega = \omega_{bg} \pm \frac{1}{2\pi}$$

L'allargamento delle nigne dipende anche dalla

Condizione di temperatura e pressione che determinano

la frequenza di collisione degli atomi.

Anche l'effetto Doppler contribuisce all'allargamento.



4.5 A plot of the Lorentzian intensity distribution

